

# 伊朗南部 Lurestan-Khuzestan 地区中新统沉积物源特征

孙高远<sup>1</sup>, 崔希超<sup>1</sup>, 陈嘉诺<sup>1</sup>, 蒋璟鑫<sup>2</sup>, 胡修棉<sup>2</sup>, 王亚苏<sup>1</sup>

1. 河海大学海洋学院, 南京 210024

2. 南京大学内生金属矿床成矿机制研究国家重点实验室, 地球科学与工程学院, 南京 210023

**摘要** 【目的】阿拉伯和欧亚大陆碰撞导致了扎格罗斯造山带和前陆盆地的形成。扎格罗斯前陆盆地的持续充填致使海水最终从这一地区退出, 实现了由海到陆的转变过程, 从而为探讨新特提斯洋的消亡提供约束。【方法】本次工作对伊朗扎格罗斯 Lurestan 地区和 Khuzestan 地区的中新统 Agha Jari 组进行了系统的地质学、沉积学、砂岩岩石学和碎屑锆石 U-Pb 年代学研究, 以揭示碎屑物质充填和海退过程。【结果】Lurestan 地区 Agha Jari 组由中到厚层砂—泥岩互层组成, 沉积环境分析其形成于河流环境。碎屑组分显示大量变质岩岩屑, 结合 170 Ma 锆石年龄峰, 指示盆地北侧 Sanandaj-Sirjan 岩浆变质带为其可能物源; Khuzestan 地区 Agha Jari 组主要为底部钙质砂岩, 向上逐渐变为厚层砂岩、泥岩组合, 沉积于三角洲环境。砂岩碎屑组分主要以沉积岩屑为主, 中生代锆石年龄与扎格罗斯褶皱冲断带一致, 表明碎屑物源主要为再旋回的扎格罗斯褶皱冲断带中的沉积岩。基于下伏 Gachsaran-Mishan 组浅海蒸发岩和碳酸盐岩沉积, Agha Jari 组记录了扎格罗斯前陆盆地由海向陆的转变过程。生物地层学资料约束残留海消亡的时间为不早于中新世早期, 并且存在从西北向东南海退的趋势。【结论】阿拉伯—欧亚大陆初始碰撞作用导致扎格罗斯山脉隆起, 随着持续隆升的扎格罗斯山脉向前陆盆地提供碎屑物质是导致扎格罗斯残留海关闭的直接原因, 并且扎格罗斯残留海从西北向东南退出的古地理格局至少在中新世已经形成。

**关键词** 新特提斯洋; 扎格罗斯; Agha Jari 组; 沉积环境; 海退

**第一作者简介** 孙高远, 男, 1988 年出生, 副教授, 沉积与海洋地质, E-mail: sungy@hhu.edu.cn

**中图分类号** P512.2 **文献标志码** A

## 0 引言

前陆盆地是碰撞造山带的忠实记录者, 其盆地演化历史往往能很好地反映陆陆碰撞及碰撞后的过程<sup>[1]</sup>。如对现今的特提斯喜马拉雅造山带前陆盆地研究, 有效地约束板块的初始碰撞时间、新特提斯洋的闭合以及残留洋的消亡等<sup>[2-3]</sup>。新特提斯洋闭合引起了新生代最为广泛的造山运动事件, 形成了世界上最著名的阿尔卑斯—扎格罗斯—喜马拉雅造山带<sup>[4]</sup>。通过对新特提斯域中的碰撞造山带相关前陆盆地开展研究, 分析其沉积和盆地充填历史, 有助于了解新特提斯洋的演化过程。

位于新特提斯构造域中段的扎格罗斯造山带, 一直以来研究程度较低, 基本的地层格架和时空演化还存在争议<sup>[5-8]</sup>, 使得该地区一些重要地质问题不是很清楚, 比如阿拉伯—欧亚板块的碰撞时间、新特提斯洋在扎格罗斯地区的海退时间和过程等<sup>[9-15]</sup>。扎格罗斯前陆盆地

自中生代以来发育了巨厚（厚度大于 10 km）沉积地层<sup>[5,16-17]</sup>，其中，中新统地层包括海相灰岩到碎屑岩沉积<sup>[5,18-19]</sup>，可能记录了新特提斯洋在本区的最终消亡和阿拉伯—欧亚板块碰撞后的构造演化过程。碎屑物质沉积主要受控于区域构造影响，扎格罗斯前陆盆地的中新世沉积物质与区域隆升的褶皱冲断带关系密切，记录了扎格罗斯的陆陆碰撞、抬升和剥蚀历史，因此是该时段沉积演化的直接证据。

对于扎格罗斯前陆盆地中新统地层，前人已做了一定的地层学、物源以及沉积演化等方面工作。前人根据生物地层和磁性地层学研究，认为扎格罗斯 Lurestan 地区的 Agha Jari 组的形成时间在 13.8~12.3 Ma<sup>[18,20]</sup>。Pirouz *et al.*<sup>[19]</sup>提出新特提斯洋在 Khuzestan、Fars 地区的穿时海退发生于西部的 14~12 Ma 至东部的 8~1 Ma。Alavi<sup>[5]</sup>提出扎格罗斯地区中新世发育向上变浅的海退沉积，Gachsaran 组蒸发岩在扎格罗斯地区普遍发育<sup>[21]</sup>，Mishan 组碳酸盐岩主要沉积于 Khuzestan 和 Fars 地区<sup>[19]</sup>，最终被上覆 Agha Jari 组砂岩和 Bakhtiyari 组砾岩覆盖<sup>[18-19]</sup>。Zhang *et al.*<sup>[6]</sup>利用碎屑锆石年龄研究前陆盆地的物源，认为早中新世沉积物源主要来自蛇绿岩带和伊朗南部岩浆弧带，中晚中新世地层物源来自 Sanandaj-Sirjan 岩浆变质带。李佳伟等<sup>[22]</sup>利用磷灰石 (U-Th)/He 年龄得出 Khuzestan 地区 Agha Jari 组物源来自扎格罗斯蛇绿岩带、Sanandaj-Sirjan 岩浆变质带和高扎格罗斯带。总体上，记录新特提斯洋关闭的中新世沉积演化以及区域对比研究在扎格罗斯地区还很薄弱。

通过对伊朗南部 Lurestan 和 Khuzestan 两个地区的扎格罗斯前陆盆地中新统 Agha Jari 组地层开展野外工作，对其进行详细的地层学、沉积学、岩石学学和碎屑锆石 U-Pb 年代学等研究，并通过区域对比，恢复了伊朗南部扎格罗斯造山带的中新世碎屑沉积过程与物源供应，进而为新特提斯洋在该地区的演化提供新的约束。

## 1 地质背景

扎格罗斯造山带由自北向南三个构造单元组成，分别为 Urumieh-Dokhtar 岩浆弧、Sanandaj-Sirjan 岩浆变质带和扎格罗斯褶皱冲断带(Zagros Fold-and-Thrust Belt) (图 1)<sup>[23-24]</sup>。

Urumieh-Dokhtar 岩浆弧位于 Sanandaj-Sirjan 岩浆变质带的东北侧，呈北西—南东走向与扎格罗斯山脉相互平行，其形成可能与新特提斯洋壳俯冲及伊朗—阿拉伯板块碰撞相关<sup>[25-27]</sup>。该岩浆岩带主要以钙碱性火成岩为主，活动时间主要为始新世至渐新世晚期（55~25 Ma），其次为岩浆活动逐渐减弱的中新世（22~6 Ma）<sup>[27-28]</sup>。

Sanandaj-Sirjan 岩浆变质带位于扎格罗斯主逆冲断层北侧，宽 150~200 km，长约 1 500 km。该地区以钙碱性侵入岩、喷出岩及变质岩为主<sup>[23,29]</sup>，前人对该地区岩浆岩形成时间约

束为侏罗纪（180~144 Ma）时期<sup>[30-32]</sup>，其形成与新特提斯洋壳的北向俯冲或晚期的阿拉伯-欧亚大陆碰撞相关<sup>[33-35]</sup>，随后在始新世晚期（40~34 Ma）岩浆作用再次活动<sup>[35-36]</sup>。该带变质岩主要由侏罗纪高压低温相蓝片岩组成<sup>[23,37]</sup>。

扎格罗斯褶皱冲断带可分为高扎格罗斯带（High Zagros Belt）和扎格罗斯褶皱带（Simply Folded Belt）<sup>[23-24]</sup>（图 1）。高扎格罗斯带位于扎格罗斯主逆冲断层南侧，该区发育由大量薄皮状变形的褶皱和断层，是扎格罗斯地区造山活动最强烈区域。该区地层主要以叠瓦状构造的硅质岩—蛇绿岩杂岩体岩片、中生代—新生代沉积岩组成<sup>[24]</sup>。区域内出露两套典型蛇绿岩，分别是西北侧的克尔曼沙赫蛇绿岩和东南侧的内里兹蛇绿岩，两者年龄分别为  $85\pm 6$  Ma<sup>[39-41]</sup>和  $90\pm 15$  Ma<sup>[33,42-43]</sup>。

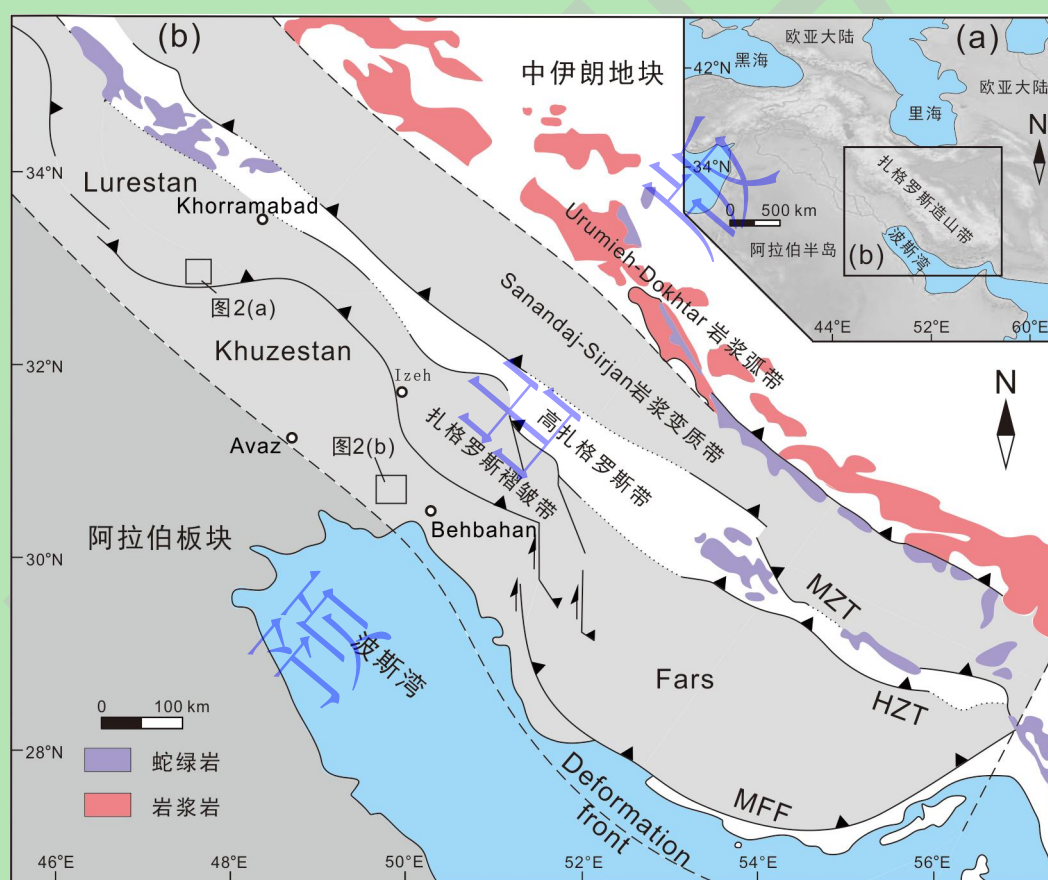


图 1 扎格罗斯区域构造概况图（据文献[38]修改）

(a) 扎格罗斯造山带位置示意图；(b) 研究区地质简图；MZT. 扎格罗斯主逆冲断层；HZT. 高扎格罗斯断层带；MFF. 扎格罗斯山前断层

Fig.1 Geological map of the Zagros area (modified from reference[38])

(a) Location of the Zagros orogenic belt; (b) Simplified geological map of the study area; MZT. Main Zagros Thrust; HZT. High Zagros Thrust; MFF. Mountain Front Fault

扎格罗斯褶皱带位于阿拉伯板块前缘，临近波斯湾地区，整体以扎格罗斯山前断层(MFF)和高扎格罗斯断层(HZF)为边界与其他构造单元分开。该带自西北向东南分布于 Lurestan、Khuzestan 和 Fars 地区，发育大量褶皱和断层，地势呈现朝北东方向逐渐增高趋势<sup>[5,44-45]</sup>。

扎格罗斯褶皱带新元古代至新生代的沉积物厚度超过 13 km，其中在新元古代至白垩纪发育被动陆缘沉积，晚白垩世之后发育前陆盆地沉积。Lurestan 地区是扎格罗斯地区造山过程中主要的隆升区域，构造带内褶皱发育、断层活跃。在渐新世之前研究区内沉积了一系列的海相碎屑岩和碳酸盐岩，随着前陆盆地沉积环境演化，在中新世之后发育 Gachsaran-Mishan 组浅海蒸发岩和碳酸盐岩，随后被 Agha Jari 组砂—泥岩和 Bakhtiyari 组砾岩覆盖<sup>[5]</sup>。Khuzestan 地区是与 Lurestan 地区相邻的沉积构造带，在中新世之后相继沉积了 Gachsaran 组、Mishan 组、Agha Jari 组和 Bakhtiyari 组<sup>[21]</sup>。

## 2 地层与沉积环境

本次工作对伊朗南部 Lurestan 地区和 Khuzestan 地区两个剖面的中新统 Agha Jari 组进行了详细的野外和室内分析研究（图 2）。

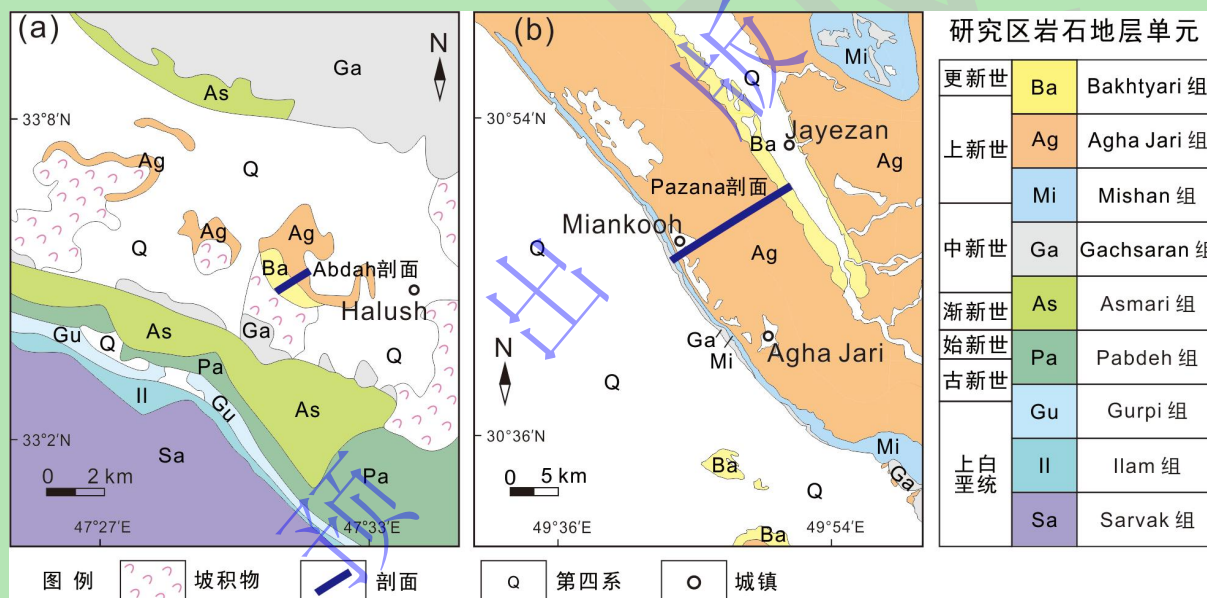


图 2 研究区地质简图（修改自 1:250 000 万伊朗石油公司地质图 20504 和 20841W）

(a) Lurestan 地区 Abdah 剖面地质图; (b) Khuzestan 地区 Pazana 剖面地质图

Fig.2 Geological map of the study areas (based on National Iranian Oil Company 1:250 000 geological maps 20504 and 20841W)

(a) Abdah section in the Lurestan region; (b) Pazana section in the Khuzestan region

### 2.1 Lurestan 地区

#### 2.1.1 沉积地层描述

Lurestan 地区 Abdah 剖面出露 Agha Jari 组和 Bakhtiyari 组两套地层（图 3、图 4a），未见底。下部 Agha Jari 组厚约 125 m，主要由紫红色、灰白色粉—中粗粒砂岩和紫红色泥岩组成，顶部以粗粒砂岩为主。沉积构造发育，如冲刷侵蚀面、平行层理和板状、楔状交错层理等。该剖面可见多个砂—泥岩旋回结构（图 4b），单个旋回厚度约 2~4 m，呈向上逐渐



变细的正旋回。砂岩层底部通常发育冲刷侵蚀构造（图 4c），以中粗粒砂岩为主，部分含砾石。砂岩层中发育大量高角度板状（图 4d）、楔状和槽状交错层理和平行层理。砂岩之上逐渐过渡到泥岩—粉砂—细砂岩沉积，厚度相比下伏砂岩层较薄（一般介于 10~50 cm，图 4e），其中粉砂岩呈薄层状、透镜状产出，侧向不连续，层内发育小型交错层理。部分砂—泥岩旋回中，泥岩层厚度较大（大于 2 m），以紫红色泥岩为主（图 4f），内部可见植物根管和生物钻孔等遗迹构造（图 4g），局部可见水平层理发育。

不整合覆盖于 Agha Jari 组之上的 Bakhtiyari 组（图 4h），单层厚度大于 20 m，是一套巨厚层灰白色灰质砾岩层，砾岩层砾石分选性较差，粒径介于 0.5~80 cm，砾石磨圆度中等，磨圆度为次棱角状—次圆状，但分选较差，最大砾石粒径超过 20 cm，最小可至厘米级（图 4h），砾岩层整体呈颗粒支撑，粗粒砂岩基质常见，砾石排列混杂，呈块状构造。

### 2.1.2 沉积环境解释

Agha Jari 组中大量出现的粗粒含砾砂岩层反映较强水动力的底负载推移质搬运过程，分析其属于曲流河河道沉积单元中的河床滞留沉积<sup>[46]</sup>。大量槽状和板状交错层理发育的砂岩层显示强水动力侧向迁移的搬运沉积特征，对应于河道中的边滩沉积单元。薄层泥岩—粉砂—细砂岩组合单元，层内发育小型交错层理，反映水动力较弱的特征，其可能形成于河流环境中的堤岸沉积，较粗粒度的粉砂—细砂沉积可能形成于天然堤中的决口扇沉积微相。大套紫红色厚度块状泥岩，局部含水平层理，反映弱水动力环境，推测其形成于河流环境中的洪泛平原沉积单元。Bakhtiyari 组大套砾岩层中局部可见粗砂岩透镜体，该套混杂的砾岩沉积反映快速堆积特征，指示高密度碎屑流沉积，推测其形成于冲积扇环境<sup>[47]</sup>。

综上，通过 Abdah 剖面的沉积特征分析，该剖面 Agha Jari 组应形成于曲流河相环境，其上被冲积扇的 Bakhtiyari 组不整合覆盖。

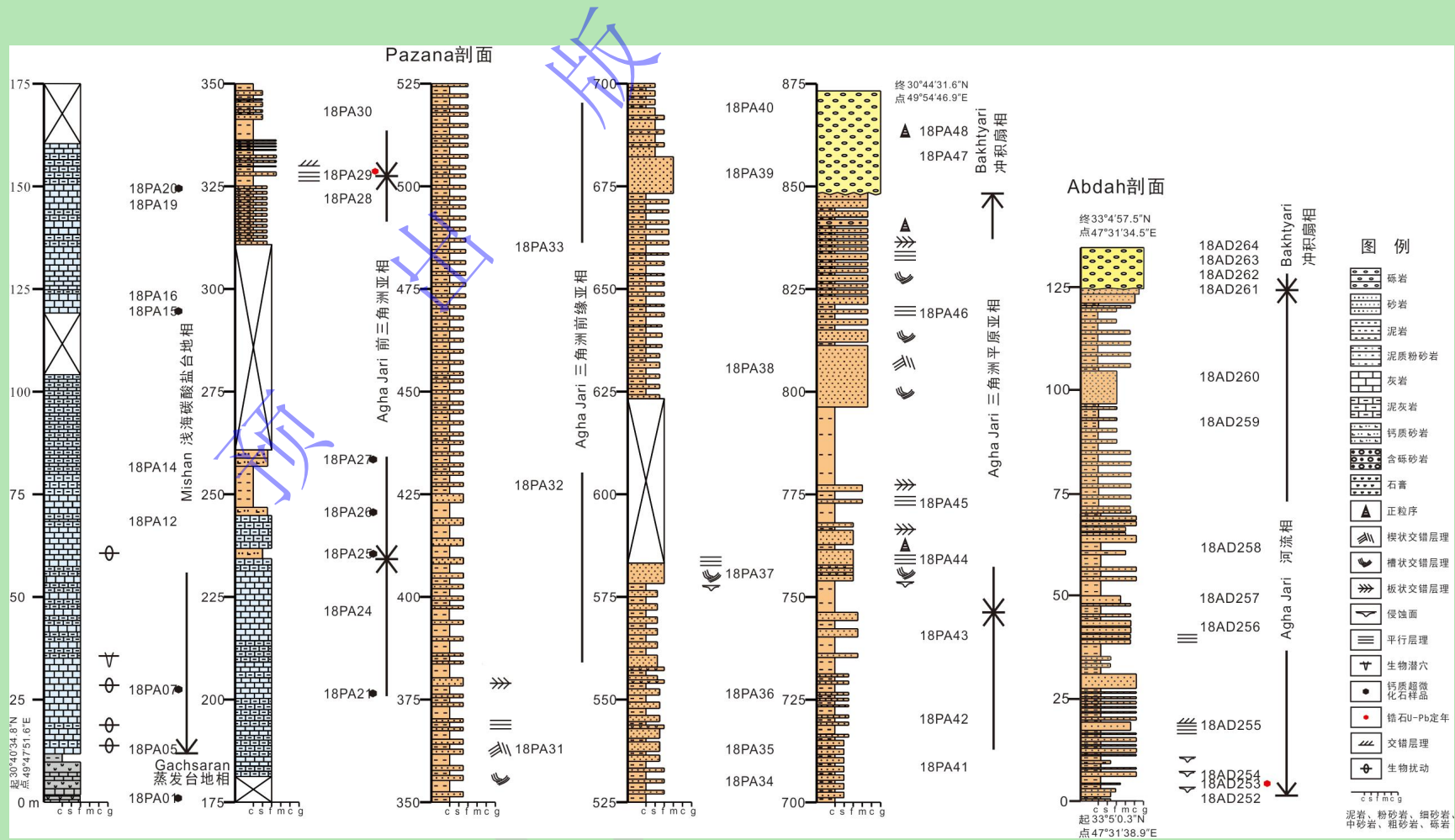


图3 Lurestan地区 Abdah 剖面和 Khuzestan 地区 Pazana 剖面综合地层柱状图

Fig.3 Lithological columns of the Abdah and Pazana sections

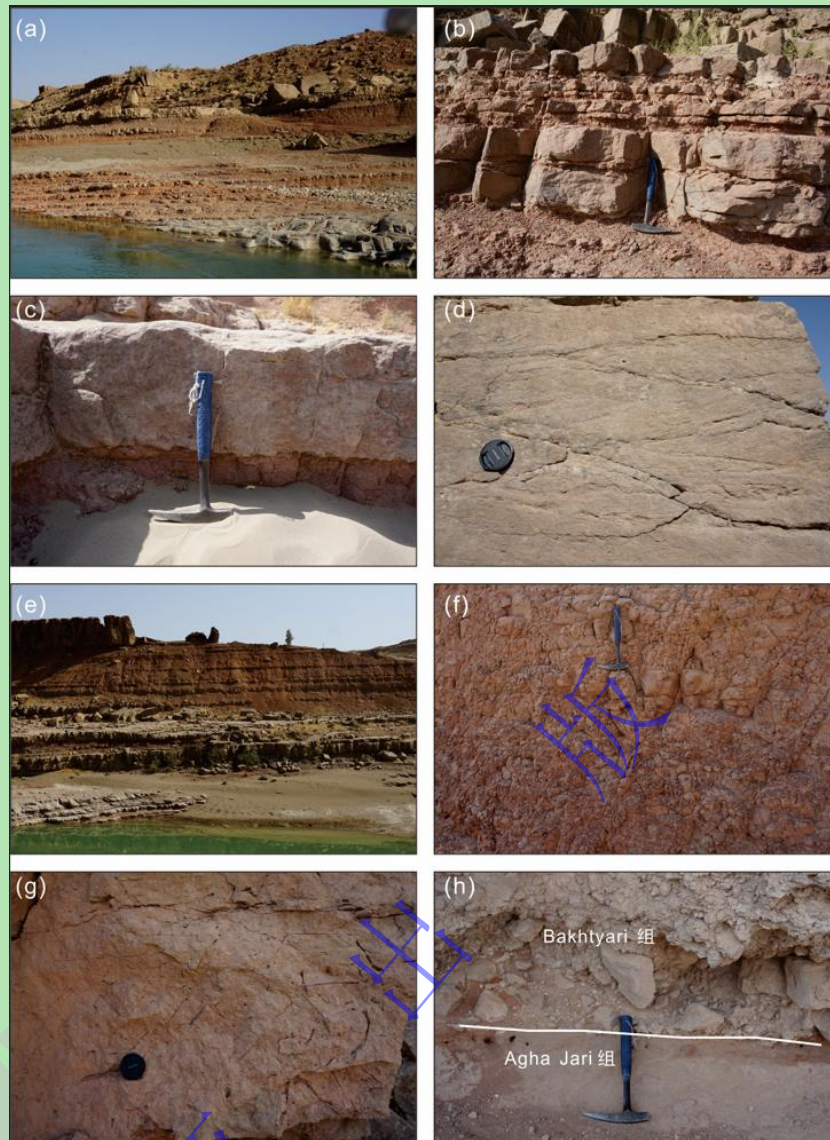


图4 Abdah 剖面野外照片

(a) Abdah 剖面远景图; (b) 剖面中下部砂—泥岩互层; (c) 砂岩层底部冲刷侵蚀构造; (d) 槽状交错层理; (e) 剖面中上部厚层泥岩夹薄—中层砂岩层; (f) 大套厚层泥岩层; (g) 泥岩层中生物扰动构造; (h) Agha Jari 组与上覆 Bakhtiyari 组的不整合界线

Fig.4 Photographs of the Abdah section in the field

(a) panoramic photograph of the Abdah section; (b) sandstone-mudstone interbedded in the lower section; (c) erosional base under the sandstone bed; (d) trough cross bedding; (e) mudstone beds interbedded with sandstones; (f) thick bedded mudstones; (g) bioturbation structures in the mudstone beds; (h) the unconformable contact between the Agha Jari and Bakhtiyari formations

## 2.2 Khuzestan 地区

### 2.2.1 沉积地层描述

Khuzestan 地区 Pazana 剖面在野外展布为一背斜,自核部向两翼包含四套岩石地层单元,依次为 Gachsaran 组、Mishan 组、Agha Jari 组和 Bakhtiyari 组(图 3)。位于背斜核部的 Gachsaran 组在研究区出露厚度约 12 m,以云质灰岩和泥灰岩夹膏岩层为特征(图 5a),部分层中夹灰绿色泥岩和紫红色泥页岩。Mishan 组整合覆于 Gachsaran 组之上,厚~222.5 m,该组底部



为厚层灰白色灰岩夹泥灰岩，灰岩中发育生物扰动和潜穴遗迹沉积构造（图 5b），向上生物扰动减少，岩性为厚层灰岩夹泥灰岩。

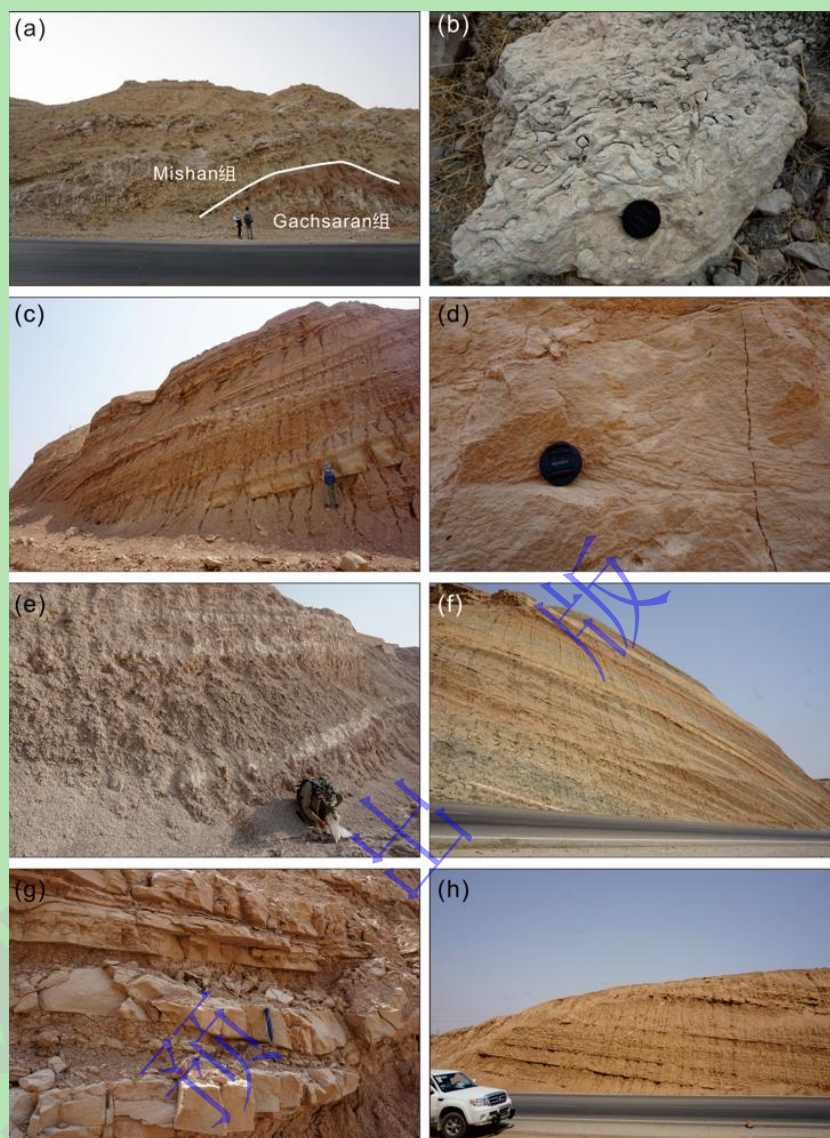


图 5 Pazana 剖面野外照片

(a) Gachsaran 组与 Mishan 组分界线；(b) 生物扰动遗迹；(c) 厚层泥岩层；(d) 厚层泥岩夹薄层砂岩层；(e) 小型波状交错层理；(f) 泥岩层夹灰白色蒸发岩层；(g) 席状砂岩层；(h) 砂泥岩互层

Fig.5 Photographs of the Pazana section in the field

(a) boundary between the Gachsaran and Mishan formations; (b) bioturbation relics; (c) mudstone interbedded with sandstone; (d) small wavy cross-bedding; (e) mudstone interbedded with evaporates; (f) sheeted sandstone beds; (g) sandstone-mudstone interbedded; (h) shick mudstone beds

Agha Jari 组覆盖于 Mishan 组之上，厚约 614 m，整体呈向上粒度变粗的层序，自下而上大致可分为三段。下段厚~91.5 m，该段主体呈现中—厚层灰黄色—紫红色泥岩层（厚度约 20 cm~2 m 不等），夹薄—中层细砂岩层（厚度不超过 20 cm，图 5c）。砂岩层底部与泥岩层常呈突变接触，侧向延伸较好，部分呈透镜状或楔状形态，层内发育小型波状交错层理



(图 5d)。该泥岩岩相中部分层段夹多层灰白色蒸发岩层，以石膏层为主，层厚约 20~50 cm (图 5e)。

中段厚约 420.5 m，在剖面中上部广泛发育大套厚层灰黄色—黄绿色细—中粒砂岩相，整体颗粒粒度分选较好，层内发育大量交错层理和平行层理。砂岩层侧向延续性好，层厚稳定，单层厚度超过 50 cm，呈席状延伸展布，垂向上体现出不同色调的砂岩层相间产出 (图 5f)，显示出延伸不同的结构砂岩纹层出现。部分砂岩层中夹杂薄层状、楔状泥岩层，层厚小于 20 cm，层内发育小型波状交错层，局部可见蒸发岩夹层。

上段厚约 102 m，以紫红色中层中—粗粒砂岩与粉砂岩、泥岩互层产出 (图 5g)，单套旋回厚度约 2 m，砂—泥岩层厚比约 1:1。砂岩层下部常常具有冲刷—充填构造或侵蚀的底边界，部分含有砾石成分，向上粒度逐渐变细，呈现正粒序。层内发育中—大型交错层理、平行层理等，泥岩层总体呈块状构造，偶含植物碎片。厚层紫红色—灰黄色泥岩层 (总厚度超过 100 m，图 5h)，主要出现于剖面的中上部，平均单层泥岩厚度约 5 m，侧向延伸稳定，只在局部夹薄层粉砂岩层 (厚度小于 10 cm)，沉积构造少见，主要以水平层理为主。

剖面最顶部 Bakhtiyari 组在本剖面出露总厚度超过 25 m，底部以大套砾岩层与下伏 Agha Jari 组呈角度不整合接触。砾岩主要为颗粒支撑结构，磨圆度较好，多为次圆—圆状，分选差，粒径介于 0.5~15 cm，砾岩层可见交错层理发育，侧向多呈楔状或透镜状产出，可见叠瓦状排布的砾石。

## 2.2.2 沉积环境解释

Pazana 剖面中 Gachsaran 组大量出现的白云质灰岩和蒸发岩反映了气候干燥的局限海或封闭浅海环境，如潟湖相。其上整合出现的 Mishan 组以厚层灰岩夹泥灰岩为主，反映浅海碳酸盐岩台地沉积环境。

Agha Jari 组下段以中—厚层泥岩层为主体，指示其形成于水动力较弱的环境，综合垂向层序推测其可能为三角洲前缘的支流间湾微相。泥岩中夹的薄层和透镜状细砂岩层，发育小型交错层理和冲刷—充填构造，对应于三角洲前缘中的远沙坝沉积。中段以大套厚层席状砂岩为特征，呈现较好的分选性，代表其受到反复的波浪淘洗和簸选作用，推测其属于三角洲前缘的席状砂。砂岩层中夹杂的薄层泥岩层，偶夹蒸发岩层，为弱水动力条件下与海局限相通的低洼海湾区，可能为前三角洲泥或支流间湾微相下形成的泥楔沉积单元。上段出现大套砂—泥岩互层组合，砂岩层底部为含砾中粗粒砂岩，并以正粒序为特征，反映牵引流下的床沙推移搬运堆积，结合垂向沉积特征，指示其形成于三角洲平原亚相的分支河道微相。与砂岩互层的紫红色粉砂岩、泥岩，反映了水动力较弱的悬浮沉积搬运特征，结合垂向岩相分

布特征,表明其形成于三角洲平原上的天然堤和沼泽微相。本段中上部出现大套厚层泥岩相,指示形成于低水动力条件,其可能形成于三角洲平原上的泛滥平原环境。

与 Abdah 剖面类似, Pazana 剖面顶部的 Bakhtiyari 组砾岩同样反映快速堆积特征,其形成于高密度碎屑流的沉积背景,即为冲积扇环境<sup>[47]</sup>。

综合以上野外特征分析,在 Pazana 剖面,其底部以浅海相碳酸盐沉积为特征,向上逐渐过渡到 Agha Jari 组以海陆过渡相的三角洲环境,最后被冲积扇相的 Bakhtiyari 组不整合覆盖。

### 2.3 沉积时代约束

由于 Agha Jari 组主体形成于陆相或海陆过渡相地层,生物化石保存较少,使其形成时代一直难以约束。前人的研究主要是通过对下伏 Mishan 组灰岩来限定其下限时代。从 Mishan 组顶部的双壳化石 (*Corbula tunicosulcata* Vredenburg、*Dosinia peralta* Vredenburg、*Anadara* sp. 及 *Thracia* sp.) 分析,将 Mishan 组的沉积时代约束于 16.0~11.6 Ma<sup>[48]</sup>。研究在 Panaza 剖面获得下伏地层 Mishan 组的钙质超微化石,种属包括 *Cyclicargolithus floridanus*、*Watznaueria barnesiae*、*Coccolithus formosus*、*Micula* sp.、*Reticulofenestra reticulate* 和 *Coccolithus pelagicus* 等(图 6),其中带化石 *Reticulofenestra bisecta* 属于 NP25 生物带,指示 Mishan 组沉积至少可以延续至中新世最早期(~23 Ma),综合前人对 Mishan 组的生物地层研究,认为 Agha Jari 组主体沉积于中新世时期。

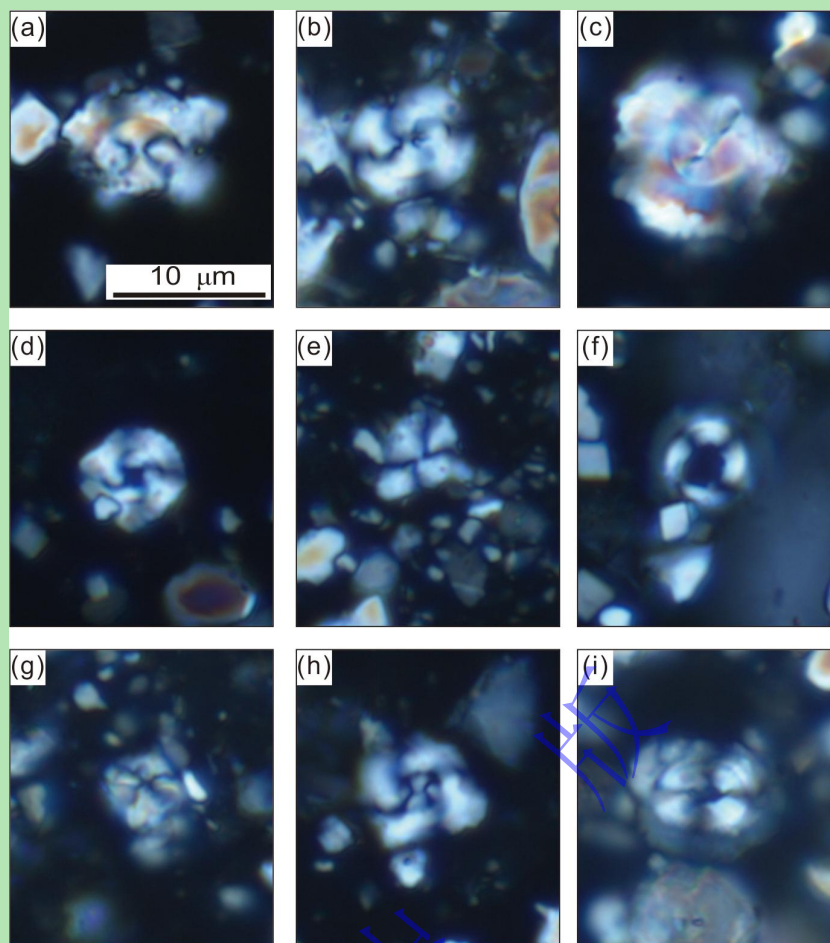


图 6 Mishan 组上部钙质超微化石

(a) *Reticulofenestra bisecta* (18PA01); (b) *Reticulofenestra bisecta* (18PA21); (c) *Reticulofenestra bisecta* (18PA26); (d) *Cyclicargolithus floridanus* (18PA27); (e) *Watznaueria barnesiae* (18PA15); (f) *Coccolithus formosus* (18PA27); (g) *Micula sp.* (18PA25); (h) *Reticulofenestra reticulata* (18PA25); (i) *Coccolithus pelagicus* (18PA24)

Fig. 6 Calcareous nannofossils of the Mishan Formation

(a) *Reticulofenestra bisecta* (18PA01); (b) *Reticulofenestra bisecta* (18PA21); (c) *Reticulofenestra bisecta* (18PA26); (d) *Cyclicargolithus floridanus* (18PA27); (e) *Watznaueria barnesiae* (18PA15); (f) *Coccolithus formosus* (18PA27); (g) *Micula sp.* (18PA25); (h) *Reticulofenestra reticulata* (18PA25); (i) *Coccolithus pelagicus* (18PA24)

### 3 砂岩物源分析

#### 3.1 物源分析方法

砂岩碎屑统计：采用 Gazzi-Dickinson 栅格结点计数的方法对 18 个样品进行了碎屑统计 [49-51]。首先根据砂岩粒径选择合适的栅格间距（一般栅格尺寸大于大部分砂岩颗粒粒径，以确定不会对某颗粒重复计数），然后对每个节点进行识别和统计。统计时，对大于 62.5 μm 的颗粒进行单独计数，减少砂岩结构成熟度对统计结果的影响。每个样品统计至少 300 颗碎屑颗粒，统计完成后，通过换算得出各种碎屑的百分含量，用于石英—长石—岩屑（QFL）或其他碎屑组分的三角图解，来反映其构造背景。



碎屑锆石 U-Pb 年代学：碎屑锆石年龄测定在南京大学内生金属矿床成矿机制研究国家重点实验室完成。所采用仪器为 New Wave UP213 带固体激光剥蚀系统(LA)的 Agilent 7500a 型等离子质谱仪 (ICP-MS)，单个样品点的测试时间为 120 s，其中背景测量时间 40 s，激光剥蚀分析时间 50~80 s。同位素 <sup>206</sup>Pb、<sup>207</sup>Pb、<sup>208</sup>Pb、<sup>232</sup>Th 和 <sup>238</sup>U 分析停留时间依次为 15、30、10、10 和 15 ms。详细测试方法参考文献<sup>[52]</sup>，获得的数据通过 GLITTER 版本进行处理<sup>[53]</sup>，并通过普通铅校正<sup>[54]</sup>。校正后的结果用 IsoplotV3.23 宏程序完成年龄谱图的绘制<sup>[55]</sup>。

### 3.2 分析结果

#### 3.2.1 砂岩碎屑组分

对 18 件 Agha Jari 组碎屑统计统计结果如表 1 所示。

表 1 Agha Jari 组砂岩碎屑统计

Table 1 Statistical results of sandstones from the Agha Jari Formation

位置	地层	样品号	Qm	Qp	Pl	Kf	Lch	Lc	Lp	Lm	Lv	Acc	M	总计	
Abdah 剖面	Agha Jari 组	18AD254	45	48	37	23	0	79	1	141	4	12		5	395
		18AD255	37	61	15	20	8	54	1	142	6	14		4	362
		18AD258	48	37	34	37	5	58	4	104	13	14		13	367
		18AD259	36	10	38	19	1	64	1	88	6	23		24	310
		18AD260	27	9	33	37	4	132	1	26	2	24		9	304
Pazana 剖面	Agha Jari 组	18PA26	53	11	44	68	13	116	4	12	9	18		5	353
		18PA27	36	10	40	54	9	128	3	18	7	23		4	332
		18PA28	40	16	53	60	4	150	0	5	10	18		23	379
		18PA29	24	24	36	28	25	167	3	18	9	13		0	347
		18PA31	40	6	33	22	7	197	0	0	0	22		42	369
		18PA34	13	16	10	36	11	187	0	1	0	15		19	308
		18PA35	42	15	26	41	6	120	1	3	4	29		60	347
		18PA37	31	36	26	47	17	80	1	52	15	20		23	348
		18PA39	26	7	21	33	15	172	4	17	0	5		76	376
		18PA43	14	10	53	30	15	201	0	0	0	1		39	363
		18PA44	16	4	18	14	3	250	0	2	0	11		14	332
		18PA45	9	4	12	7	19	291	4	0	0	4		17	367
	Bakhtiyari 组	18PA47	32	10	12	27	6	208	1	7	1	9		21	334

注：Q.石英，Qm.单晶石英，Qp.多晶石英，F.长石，Pl.斜长石，Kf.钾长石，L.岩屑，Lch.燧石，Lc.碳酸盐岩岩屑，Lp.陆源碎屑岩岩屑，Lm.变质岩岩屑，Lv.火山岩岩屑，Acc.副矿物，M.基质。

Abdah 剖面的 Agha Jari 组砂岩类型为岩屑砂岩 (图 7)。碎屑组分统计结果显示平均碎屑组分为 Q : F : L = 22 : 18 : 59; Lm : Lv : Ls = 53 : 3 : 44。颗粒组成以岩屑为主，石英和长石次之。岩屑含量相对稳定，占比达 60%左右，其组成主要以变质岩岩屑和沉积岩岩屑为主

(图 8a, b), 且变质岩岩屑含量从岩层底部 (~36%) 至顶部 (~9%) 逐渐下降, 而沉积岩岩屑含量逐渐升高 (从 ~15% 到 ~43%)。石英含量自底向上呈下降趋势 (从 ~24% 到 ~12%), 石英由单晶石英和多晶石英组成, 单晶石英含量由岩层底部至顶部变化不大, 而多晶石英含量逐渐减少。长石主要包括斜长石和钾长石, 总含量在剖面上变化不大 (~20%)。

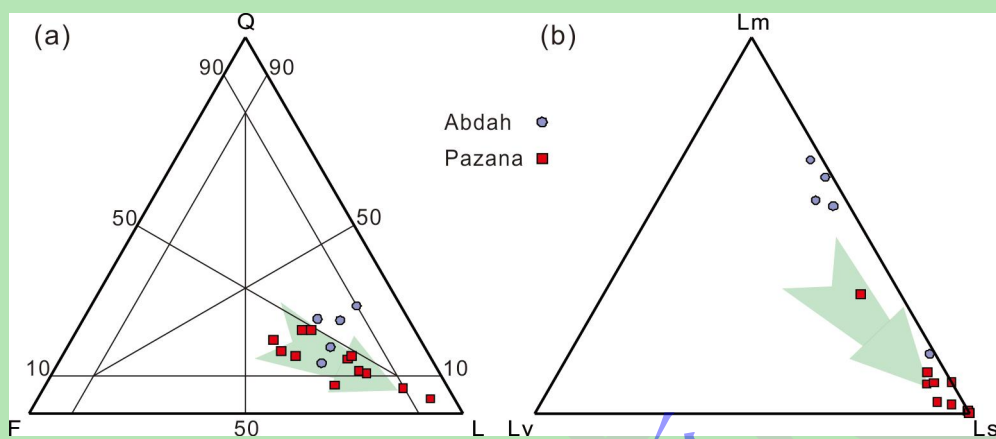


图 7 Agha Jari 组砂岩碎屑统计三角图解

(a) Q-F-L 三角图; (b) Lm-Lv-Ls 三角图; Q.石英; F.长石; L.岩屑; Lm.变质岩岩屑; Lv.火山岩岩屑; Ls.沉积岩岩屑

Fig.7 Ternary diagrams for sandstones from the Agha Jari Formation

(a) Q-F-L ternary diagram; (b) Lm-Lv-Ls ternary diagram; Q.Quartz; F.feldspar; L.lithic grains; Lm.metamorphic grains; Lv.magmatic grains; Ls.sedimentary grains

Pazana 剖面中, Agha Jari 组的砂岩类型同样以岩屑砂岩为主 (图 7)。碎屑结果显示平均碎屑组分为  $Q:F:L = 14:22:65$ ;  $Lm:Lv:Ls = 5:2:93$ 。碎屑成分自下而上石英和长石含量均呈下降趋势, 其中石英从 ~18% 下降到 ~3%, 长石从 ~31% 下降到 ~5%。岩屑含量自底而上逐渐增多 (从 ~44% 到 ~86%), 并以碳酸盐岩沉积岩屑为主 (~49%), 且向上有增多趋势 (从 ~33% 到 ~79%)。Pazana 剖面中的 Agha Jari 组与 Abdah 剖面中的相比, 砂岩岩屑组分含量差异较为明显, Abdah 剖面在沉积早期出现大量变质岩岩屑 (图 8a, b), 随后沉积岩岩屑含量逐渐增多, 而 Pazana 剖面的岩屑始终以碳酸盐岩沉积岩屑为主 (图 8c~f)。

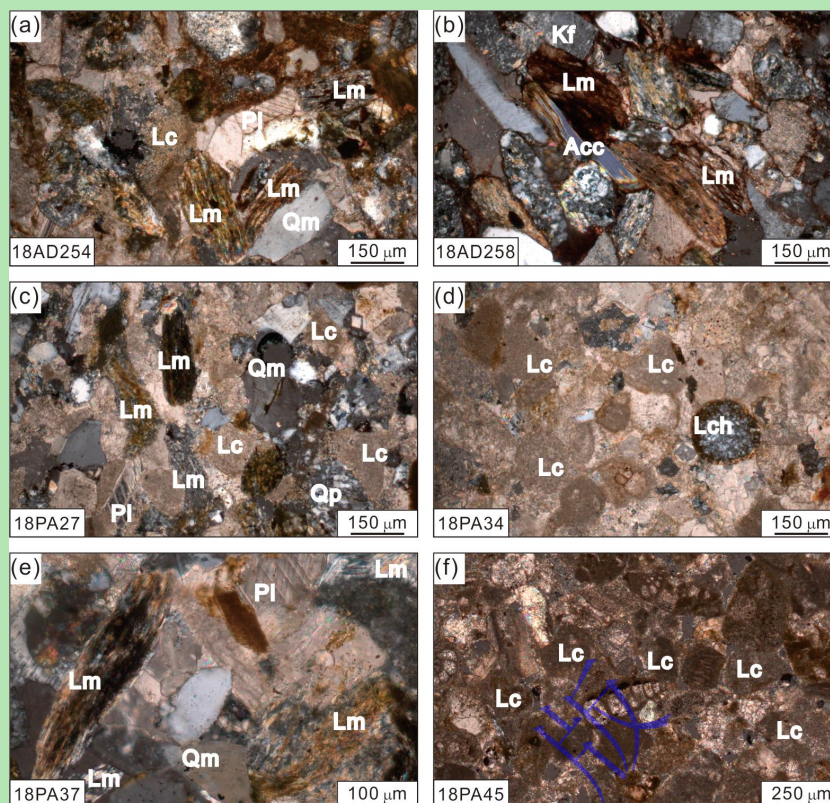


图8 Agha Jari组砂岩显微照片

Qm.单晶石英; Qp.多晶石英; Pl.斜长石; Kf.钾长石; Lch.燧石; Lc.碳酸盐岩岩屑; Lm.变质岩岩屑

Fig.8 Microphotos of sandstones from the Agha Jari Formation

Qm. monocrystalline quartz; Qp. polycrystalline quartz; Pl. plagioclase feldspar; Kf. potassium feldspar; Lch. chert grain; Lc. carbonate grain; Lm. metamorphic grain

### 3.2.2 碎屑锆石 U-Pb 年龄

对两件样品 200 颗碎屑锆石开展锆石 U-Pb 年代学分析(附表 1)。Lurestan 地区 Abdah 剖面砂岩样品(18AD253)获得了 90 颗碎屑锆石年龄(图 9), 其中 56 颗(占比 62%)显示在 150~200 Ma 年龄区间, 峰值为~173 Ma; 其余锆石年龄分别显示 200~400 Ma(占比 9%, 峰值~320 Ma)、500~750 Ma(占比 9%, 峰值~660 Ma)、900~1 100 Ma(占比 7%, 峰值~1 050 Ma)。

Khuzestan 地区 Pazana 剖面砂岩样品(18PA29)获得了 110 颗碎屑锆石年龄(图 9), 结果显示其主要年龄区间为 80~110 Ma(占比 3%, 峰值~100 Ma)、150~180 Ma(占比 5%, 峰值~165 Ma)、200~350Ma(占比 16%, 峰值~245 Ma、~310 Ma)、520~730 Ma(占比 27%, 峰值~555 Ma、~620 Ma)、750~800 Ma(占比 8%, 峰值~775 Ma)、950~1 200 Ma(占比 5%, 峰值~1 000 Ma)、1 700~2 100 Ma(占比 9%, 峰值~1 865 Ma)、2 450~2 700 Ma(占比 9%, 峰值~2 485 Ma)。该样品中出现的最年轻碎屑锆石年龄为  $35 \pm 1$  Ma。与 Abdah 剖面相比, 该样品出现了大量的白垩纪锆石年龄(图 9)。



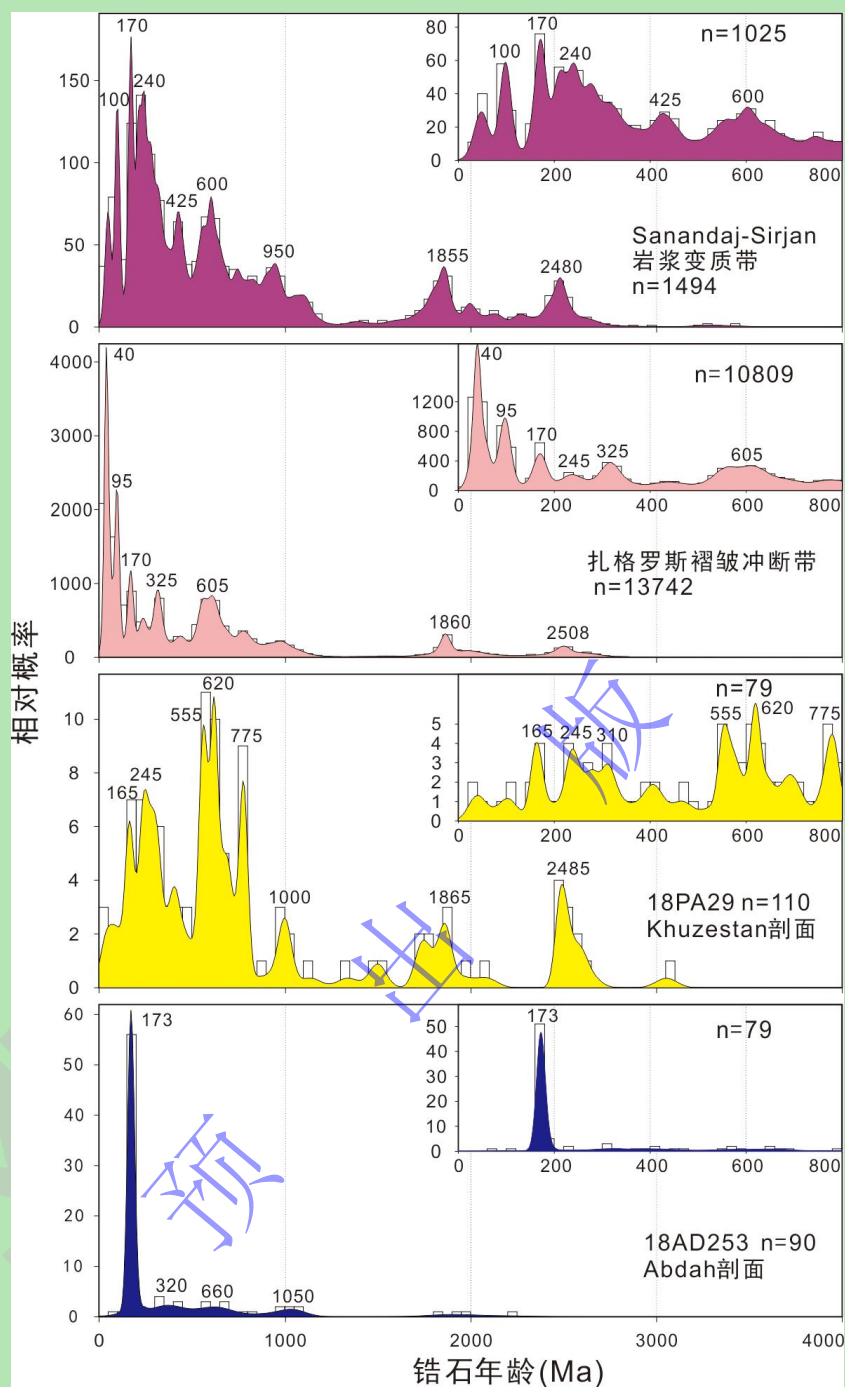


图9 Agha Jari 组碎屑锆石 U-Pb 年龄与潜在物源区对比

数据来源：Sanandaj-Sirjan 岩浆变质带<sup>[56-62]</sup>，扎格罗斯褶皱冲断带<sup>[56,63-75]</sup>

Fig.9 Comparisons of probability density for detrital zircons from the Agha Jari Formation to the potential source areas

Data sources: Sanandaj-Sirjan zone<sup>[56-62]</sup>, Zagros Fold-and-Thrust Belt<sup>[56,63-75]</sup>

## 4 讨论

### 4.1 碎屑物源

通过搜集潜在物源区的碎屑锆石年龄与 Agha Jari 组进行对比，并结合砂岩的碎屑组分

特征来限定物质源区。位于扎格罗斯主逆冲断层北侧的 Sanandaj-Sirjan 岩浆变质带出露大量中—新生代沉积地层和变质岩, 其分散的碎屑锆石年龄区间显示最主要特征年龄峰区间为 160~200 Ma<sup>[75]</sup> (峰值为~170 Ma, 图 9)。位于扎格罗斯主逆冲断层南侧的扎格罗斯前陆盆地沉积厚度巨大, 发育数十公里沉积地层, 碎屑锆石年龄显示其两个主要年龄峰值区间, 即 20~65 Ma (峰值~40 Ma) 和 80~110 Ma (峰值~95 Ma), 其他年龄峰值包括~170 Ma, ~245 Ma, ~325 Ma, ~605 Ma 和~1 860 Ma<sup>[56,63-75]</sup> (图 9)。

通过对比 Agha Jari 组碎屑锆石年龄发现, Lurestan 地区 Agha Jari 组砂岩样品广泛出现侏罗纪 150~200 Ma 年龄峰值, 这与北侧 Sanandaj-Sirjan 岩浆变质带中锆石年龄特征相似<sup>[56-62]</sup> (图 9), 碎屑组分分析表明, Lurestan 地区砂岩碎屑组分含有大量变质岩岩屑, 这同样指示北侧 Sanandaj-Sirjan 岩浆变质带是其最可能的物质来源。相比于 Lurestan 地区, Khuzestan 地区砂岩碎屑锆石年龄特征与之有一定的不同, 除出现区域特征性的泛非期锆石年龄外 (500~1 000 Ma), 其特征的年龄峰值包括中生代 245 Ma、165 Ma 和 100 Ma, 尤其是白垩纪锆石年龄 (峰值~100 Ma) 在该地区出现。通过对比, 这些中生代锆石与扎格罗斯褶皱冲断带中的碎屑锆石年龄相似 (图 9), 同时对比该地区砂岩样品中出现大量的沉积岩岩屑, 表明其物质很可能再旋回自扎格罗斯褶皱冲断带内大量的中—新生代碳酸盐岩。

综上, 研究区内两条剖面中的 Agha Jari 组沉积物源有一定的差别。位于扎格罗斯造山带西北侧 Lurestan 地区的 Agha Jari 组, 碎屑物质主要来自紧邻剖面北侧的 Sanandaj-Sirjan 岩浆变质带, 而位于扎格罗斯造山带东南侧 Khuzestan 地区的碎屑物质主要是再旋回自早先沉积于扎格罗斯褶皱冲断带内的沉积地层。

#### 4.2 古地理演化与新特提斯洋海退

通过研究区沉积地层分析表明, 扎格罗斯地区在渐新世—早中新世时期处于 Gachsaran 组蒸发岩沉积的台地环境<sup>[21]</sup>, 以膏岩地层为特征。随后区域海平面开始上升<sup>[19,48]</sup>, 使得扎格罗斯东南部地区发生海侵, 沉积环境由蒸发台地变为浅海开放碳酸盐台地, 形成了 Mishan 组浅海灰岩沉积。

随着海侵结束, Mishan 组碳酸盐岩停止沉积, 区域受到扎格罗斯褶皱冲断构造影响, 该地区海水逐渐退出<sup>[18-20]</sup>。此时, 扎格罗斯造山带西北部 Lurestan 地区, Agha Jari 组形成于河流环境, 而东南部的 Khuzestan 地区, 沉积于浅水碳酸盐岩台地 Mishan 组之上的 Agha Jari 组, 形成于海陆过渡环境的三角洲相 (图 10a)。该时期, 扎格罗斯地区为自西北的陆相环境至东南的过渡相的三角洲环境, 因而, Agha Jari 组代表研究区东南侧最晚的海相沉积地层, 其演化反映了新特提斯洋在本区域的消亡过程。从沉积古地理可以发现新特提斯洋的消

亡过程从西北自东南存在穿时现象（图 10a），并基于 Agha Jari 组的形成时代，推测新特提斯洋在扎格罗斯地区的最终消亡时间为中新世初期。Agha Jari 组沉积之后，区域内从河流—三角洲过渡环境转变为陆相冲积扇环境的 Bakhtiyari 组沉积，形成大套粗粒砂—砾岩沉积（图 10b），两者之间以区域广泛存在的不整合为界<sup>[44,76]</sup>，代表了整个扎格罗斯地区继续发生大幅构造隆升和沉积间断。

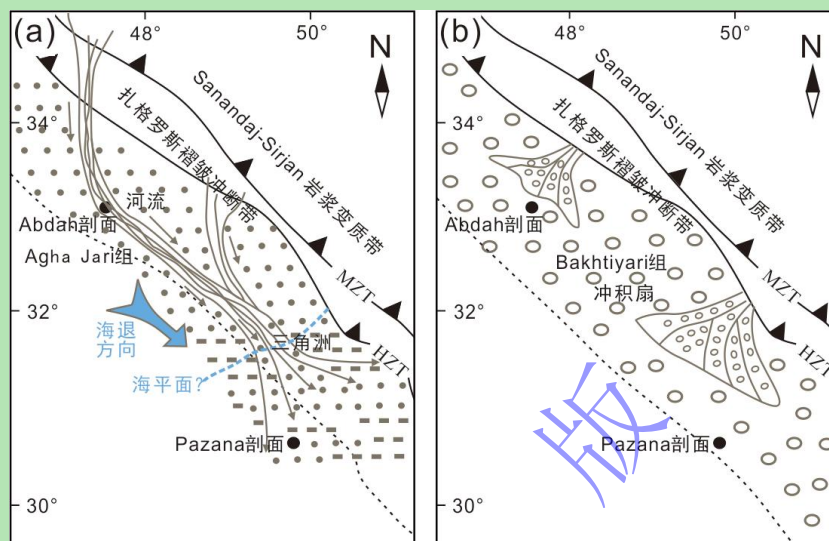


图 10 扎格罗斯地区中新世后沉积演化

(a) 中新世 Agha Jari 组沉积期; (b) 中新世之后 Bakhtiyari 组沉积期

Fig.10 Paleogeographic evolution of the Zagros orogenic belt

(a) deposition of the Miocene Agha Jari Formation; (b) deposition of the post-Miocene Bakhtiyari Formation

碎屑岩作为受区域构造背景控制所形成的盆地沉积物，能够记录早期盆地周缘造山带的隆升剥蚀以及与周围环境相互作用的信息<sup>[77]</sup>。扎格罗斯前陆盆地的沉积充填与造山带的褶皱冲断过程密切相关。中新世之前，扎格罗斯地区以浅海碳酸盐岩和蒸发岩沉积为主<sup>[5]</sup>。随着阿拉伯—伊朗板块的持续碰撞，陆陆构造挤压变形强烈<sup>[23]</sup>，扎格罗斯造山带逐渐构造抬升，新特提斯洋自西北向东南方向逐渐退出，形成研究区中新世碎屑沉积，Agha Jari 组自西北向东南的发育的河流—三角洲沉积体系（图 10a），在沉积来源上体现了从早期的研究区北侧 Sanandaj-Sirjan 岩浆变质带过渡到后期大量的扎格罗斯褶皱冲断带的物质供应变化，反映了扎格罗斯造山带构造隆升的过程。即在 Agha Jari 组沉积早期（中新世初期），北侧的 Sanandaj-Sirjan 岩浆变质带受到抬升剥蚀成为区域的物质源区，反映出大量变质岩岩屑和中生代的碎屑锆石特征。随着扎格罗斯褶皱冲断带的不断发育，扎格罗斯褶皱冲断带发生构造抬升，继而为 Agha Jari 组沉积提供物质供应，使得大量再旋回的碳酸盐岩沉积岩屑被搬运至中新统砂岩碎屑沉积中。李佳伟等<sup>[22]</sup>的磷灰石(U-Th)/He 测试分析结果，同样反映扎格罗斯褶皱冲断带的隆升与剥蚀形成大量的碎屑物质，在前陆盆地充填过程中起重要作用。



基于两个沉积剖面对比, 扎格罗斯前陆盆地中新统 Agha Jari 组完整地记录了盆地充填以及新特提斯洋海退过程, 显示在研究区存在同期异相特征, 反映了海水最早从西北向东南方向逐渐退出, 碎屑物质从西北向东南搬运充填, 并于中新统 Agha Jari 组沉积结束后, 海水全部退出该区域, 最终区域构造隆升形成大规模的冲积扇沉积。

## 5 结论

(1) 研究区 Agha Jari 组为一套最早形成于中新世的地层, 沉积环境在扎格罗斯造山带西北 Lurestan 地区为河流环境, 在东南 Khuzestan 地区为三角洲环境。

(2) Agha Jari 组的砂岩碎屑组分显示在 Lurestan 地区出现大量变质岩岩屑, 其碎屑锆石特征显示 160~200 Ma 年龄区间, 表明 Sanandaj-Sirjan 岩浆变质带为主要碎屑物质来源; 而位于 Khuzestan 地区的砂岩碎屑组分以沉积岩岩屑为主, 中生代碎屑锆石年龄特征与扎格罗斯褶皱冲断带相似, 其物源是来自再旋回的扎格罗斯褶皱冲断带沉积岩。

(3) 阿拉伯—欧亚板块的碰撞作用, 促使扎格罗斯造山带的持续构造抬升, 剥蚀的碎屑物质不断充填到中新世扎格罗斯前陆盆地中, 导致该区海水的逐渐退出和新特提斯洋的最终消亡。基于研究区两个剖面的对比, 新特提斯洋自西北向东南方向逐渐退出的古地理格局至少在中新世时期已经形成。

致谢 感谢 Mansour Ghorbani 博士和刘昕羽在野外工作和资料整理中的帮助; 感谢评审人提出的建设性意见。

## 参考文献 (References)

- [1] Najman Y. The detrital record of orogenesis: A review of approaches and techniques used in the Himalayan sedimentary basins[J]. *Earth-Science Reviews*, 2006, 74(1/2): 1-72.
- [2] Sun J M, Ye J, Wu W Y, et al. Late Oligocene-Miocene mid-latitude aridification and wind patterns in the Asian interior[J]. *Geology*, 2010, 38(6): 515-518.
- [3] Gavillot Y, Axen G J, Stockli D F, et al. Timing of thrust activity in the High Zagros fold-thrust belt, Iran, from (U-Th)/He thermochronometry[J]. *Tectonics*, 2010, 29(4): TC4025.
- [4] 朱日祥, 赵盼, 赵亮. 新特提斯洋演化与动力过程[J]. *中国科学 (D 辑): 地球科学*, 2022, 52 (1): 1-25. [Zhu Rixiang, Zhao Pan, Zhao Liang. Tectonic evolution and geodynamics of the Neo-Tethys Ocean[J]. *Science China (Seri. D): Earth Sciences*, 2022, 52(1): 1-25.
- [5] Alavi M. Regional stratigraphy of the Zagros fold-thrust belt of Iran and its proforeland evolution[J]. *American Journal of Science*, 2004, 304(1): 1-20.
- [6] Zhang Z Y, Xiao W J, Majidifard M R, et al. Detrital zircon provenance analysis in the Zagros Orogen, SW Iran: Implications for the amalgamation history of the Neo-Tethys[J]. *International Journal of Earth Sciences*, 2017, 106(4): 1223-1238.
- [7] Bialik O M, Frank M, Betzler C, et al. Two-step closure of the Miocene Indian Ocean gateway to the Mediterranean[J]. *Scientific Reports*, 2019, 9(1): 8842.
- [8] Pirouz M, Simpson G, Castellort S, et al. Controls on the sequence stratigraphic architecture of the Neogene Zagros foreland

- Basin[M]/Sorkhabi R. Tectonic evolution, collision, and seismicity of southwest Asia: In honor of Manuel Berberian's forty-five years of research contributions. Boulder, Colorado: The Geological Society of America, 2017: 399-421.
- [9] Allen M B, Armstrong H A. Arabia-Eurasia collision and the forcing of mid-Cenozoic global cooling[J]. *Palaeogeography, Palaeoclimatology, Palaeoecology*, 2008, 265(1/2): 52-58.
- [10] Mazhari S A, Bea F, Amini S, et al. The Eocene bimodal Piranshahr massif of the Sanandaj-Sirjan Zone, NW Iran: A marker of the end of the collision in the Zagros orogen[J]. *Journal of the Geological Society*, 2009, 166(1): 53-69.
- [11] Guest B, Axen G J, Lam P S, et al. Late Cenozoic shortening in the west-central Alborz Mountains, northern Iran, by combined conjugate strike-slip and thin-skinned deformation[J]. *Geosphere*, 2006, 2(1): 35-52.
- [12] Vincent S J, Allen M B, Ismail-Zadeh A D, et al. Insights from the Talysh of Azerbaijan into the Paleogene evolution of the South Caspian region[J]. *Geological Society of America Bulletin*, 2005, 117(11/12): 1513-1533.
- [13] Dargahi S, Arvin M, Pan Y M, et al. Petrogenesis of post-collisional A-type granitoids from the Urumieh-Dokhtar magmatic assemblage, Southwestern Kerman, Iran: Constraints on the Arabian-Eurasian continental collision[J]. *Lithos*, 2010, 115(1/2/3/4): 190-204.
- [14] Ballato P, Mulch A, Landgraf A, et al. Middle to Late Miocene Middle eastern climate from stable oxygen and carbon isotope data, southern Alborz mountains, N Iran[J]. *Earth and Planetary Science Letters*, 2010, 300(1/2): 125-138.
- [15] Axen G J, Lam P S, Grove M, et al. Exhumation of the west-central Alborz Mountains, Iran, Caspian subsidence, and collision-related tectonics[J]. *Geology*, 2001, 29(6): 559-562.
- [16] James G A, Wynd J G. Stratigraphic nomenclature of Iranian oil consortium agreement area[J]. *AAPG Bulletin*, 1965, 49(12): 2182-2245.
- [17] Motiei H. Stratigraphy of Zagros[J]. *Treatise on the Geology of Iran*, 1993, 1: 60-151.
- [18] Homke S, Vergés J, Garcés M, et al. Magnetostratigraphy of Miocene-Pliocene Zagros foreland deposits in the front of the Push-e Kush Arc (Lurestan province, Iran)[J]. *Earth and Planetary Science Letters*, 2004, 225(3/4): 397-410.
- [19] Pirouz M, Simpson G, Chiaradia M. Constraint on foreland Basin migration in the Zagros mountain belt using Sr isotope stratigraphy[J]. *Basin Research*, 2015, 27(6): 714-728.
- [20] Sun J M, Sheykh M, Ahmadi N, et al. Permanent closure of the Tethyan Seaway in the northwestern Iranian Plateau driven by cyclic sea-level fluctuations in the Late Middle Miocene[J]. *Palaeogeography, Palaeoclimatology, Palaeoecology*, 2021, 564: 110172.
- [21] Bahroudi A, Koyi H A. Tectono-sedimentary framework of the Gachsaran Formation in the Zagros foreland Basin[J]. *Marine and Petroleum Geology*, 2004, 21(10): 1295-1310.
- [22] 李佳纬, 孙继敏, 吕丽星, 等. 扎格罗斯前陆盆地晚中新世快速剥露证据: 来自磷灰石 (U-Th)/He 的约束[J]. *地质学报*, 2020, 94(12): 3674-3688. [Li Jiawei, Sun Jimin, Lü Lixing, et al. Evidence of rapid Miocene exhumation of the Zagros Foreland Basin: Constraints from apatite (U-Th)/He ages[J]. *Acta Geologica Sinica*, 2020, 94(12): 3674-3688.]
- [23] Agard P, Omrani J, Jolivet L, et al. Zagros orogeny: A subduction-dominated process[J]. *Geological Magazine*, 2011, 148(5/6): 692-725.
- [24] Homke S, Vergés J, Serra-Kiel J, et al. Late Cretaceous-Paleocene Formation of the proto-Zagros foreland Basin, Lurestan province, SW Iran[J]. *Geological Society of America Bulletin*, 2009, 121(7/8): 963-978.
- [25] Alavi M. Tectonics of the Zagros orogenic belt of Iran: New data and interpretations[J]. *Tectonophysics*, 1994, 229(3/4): 211-238.
- [26] Darin M H, Umhoefer P J. Diachronous initiation of Arabia-Eurasia collision from eastern Anatolia to the southeastern Zagros Mountains since Middle Eocene time[J]. *International Geology Review*, 2022, 64(18): 2653-2681.
- [27] Chiu H Y, Chung S L, Zarrinkoub M H, et al. Zircon U-Pb age constraints from Iran on the magmatic evolution related to Neotethyan subduction and Zagros orogeny[J]. *Lithos*, 2013, 162-163: 70-87.
- [28] Verdel C, Wernicke B P, Hassanzadeh J, et al. A Paleogene extensional arc flare-up in Iran[J]. *Tectonics*, 2011, 30(3): TC3008.
- [29] Hassanzadeh J, Wernicke B P. The Neotethyan Sanandaj-Sirjan Zone of Iran as an archetype for passive margin-arc transitions[J]. *Tectonics*, 2016, 35(3): 586-621.

- [30] Shahbazi H, Siebel W, Pourmoafae M, et al. Geochemistry and U-Pb zircon geochronology of the Alvand plutonic complex in Sanandaj-Sirjan Zone (Iran): New evidence for Jurassic magmatism[J]. *Journal of Asian Earth Sciences*, 2010, 39(6): 668-683.
- [31] Alizadeh A, López Martínez M, Sarkarinejad K.  $^{40}\text{Ar}$ - $^{39}\text{Ar}$  Geochronology in a gneiss dome within the Zagros Orogénic Belt[J]. *Comptes Rendus Geoscience*, 2010, 342(11): 837-846.
- [32] Shakerardakani F, Neubauer F, Masoudi F, et al. Panafrican basement and Mesozoic gabbro in the Zagros orogenic belt in the Dorud-Azna region (NW Iran): Laser-ablation ICP-MS zircon ages and geochemistry[J]. *Tectonophysics*, 2015, 647-648: 146-171.
- [33] Babaie H A, Babaei A, Ghazi A M, et al. Geochemical,  $^{40}\text{Ar}/^{39}\text{Ar}$  age, and isotopic data for crustal rocks of the Neyriz Ophiolite, Iran[J]. *Canadian Journal of Earth Sciences*, 2006, 43(1): 57-70.
- [34] Moritz R, Ghazban F, Singer B S. Eocene gold ore Formation at Muteh, Sanandaj-Sirjan tectonic zone, western Iran: A result of Late-stage extension and exhumation of metamorphic basement rocks within the Zagros Orogen[J]. *Economic Geology*, 2006, 101(8): 1497-1524.
- [35] Mahmoudi S, Corfu F, Masoudi F, et al. U-Pb dating and emplacement history of granitoid plutons in the northern Sanandaj-Sirjan Zone, Iran[J]. *Journal of Asian Earth Sciences*, 2011, 41(3): 238-249.
- [36] Jamshidi Badr M, Masoudi F, Collins A S, et al. Mineralogical evidence for regional metamorphism overprinted by contact metamorphism[J]. *Acta Geologica Sinica - English Edition*, 2012, 86(1): 48-64.
- [37] Sheikholeslami R, Bellon H, Emami H, et al. Nouvelles données structurales et datations  $^{40}\text{K}$ - $^{40}\text{Ar}$  sur les roches métamorphiques de la région de Neyriz (zone de Sanandaj-Sirjan, Iran méridional). Leur intérêt dans le cadre du domaine néo-téthysien du Moyen-Orient[J]. *Comptes Rendus Geoscience*, 2003, 335(13): 981-991.
- [38] Homke S, Vergès J, van der Beek P, et al. Insights in the exhumation history of the NW Zagros from bedrock and detrital apatite fission-track analysis: Evidence for a long-lived orogeny[J]. *Basin Research*, 2010, 22(5): 659-680.
- [39] Delaloye M, Desmons J. Ophiolites and melange terranes in Iran: A geochronological study and its paleotectonic implications[J]. *Tectonophysics*, 1980, 68(1/2): 83-111.
- [40] Ao S J, Xiao W J, Jafari M K, et al. U-Pb zircon ages, field geology and geochemistry of the Kermanshah ophiolite (Iran): From continental rifting at 79 Ma to oceanic core complex at ca. 36 Ma in the southern Neo-Tethys[J]. *Gondwana Research*, 2016, 31: 305-318.
- [41] Moghadam H S, Stern R J. Ophiolites of Iran: Keys to understanding the tectonic evolution of SW Asia: (II) Mesozoic ophiolites[J]. *Journal of Asian Earth Sciences*, 2015, 100: 31-59.
- [42] Lanphere M A, Pamić J.  $^{40}\text{Ar}/^{39}\text{Ar}$  Ages and tectonic setting of ophiolite from the Neyriz area, southeast Zagros Range, Iran[J]. *Tectonophysics*, 1983, 96(3/4): 245-256.
- [43] Shafāii Moghadam H, Stern R J. Geodynamic evolution of Upper Cretaceous Zagros ophiolites: Formation of oceanic lithosphere above a nascent subduction zone[J]. *Geological Magazine*, 2011, 148(5/6): 762-801.
- [44] Hessami K, Koyi H A, Talbot C J, et al. Progressive unconformities within an evolving foreland fold-thrust belt, Zagros Mountains[J]. *Journal of the Geological Society*, 2001, 158(6): 969-981.
- [45] Leturmy P, Molinaro M, De Lamotte D F. Structure, timing and morphological signature of hidden reverse basement faults in the Fars Arc of the Zagros (Iran)[J]. *Geological Society, London, Special Publications*, 2010, 330(1): 121-138.
- [46] Miall A D. The geology of fluvial deposits: Sedimentary facies, Basin analysis, and petroleum geology[M]. Berlin, Heidelberg: Springer, 1996: 1-582.
- [47] Blair T C, McPherson J G. Alluvial fans and their natural distinction from rivers based on morphology, hydraulic processes, sedimentary processes, and facies assemblages[J]. *Journal of Sedimentary Research*, 1994, 64(3a): 450-489.
- [48] Sun J M, Sheykh M, Windley B F, et al. Magnetostratigraphic age control of the timing of tectonic deformation and the shifting depositional environments in the Dezful Embayment, Iran[J]. *Tectonics*, 2022, 41(1): e2021TC006881.
- [49] Gazzi P. Le arenarie del flysch sopracretaceo dell'Appennino modenese: Correlazioni con il flysch di Monghidoro[J]. *Mineralogica et Petrografica Acta*, 1966, 12: 69-97.
- [50] Dickinson W R. Interpreting detrital modes of graywacke and arkose[J]. *Journal of Sedimentary Research*, 1970, 40(2): 695-707.



- [51] 何杰, 王华, Garzanti E. 砂岩(砂)的岩相分析和分类标准[J]. 地球科学, 2020, 45(6): 2186-2198. [He Jie, Wang Hua, Garzanti E. Petrographic analysis and classification of sand and sandstone[J]. Earth Science, 2020, 45(6): 2186-2198.]
- [52] Liu L, Qiu J S, Li Z. Origin of mafic microgranular enclaves (MMEs) and their host quartz monzonites from the Muchen pluton in Zhejiang province, Southeast China: Implications for magma mixing and crust-mantle interaction[J]. Lithos, 2013, 160-161: 145-163.
- [53] Achterbergh, V. E., Ryan, C. G., Jackson, S. E., & Griffin, W. L. Data reduction software for LA-ICP-MS: appendix. Laser Ablation-ICP-Mass Spectrometry in the Earth Sciences: Principles and Applications, 2001, 239-243.
- [54] Andersen T. Correction of common lead in U-Pb analyses that do not report  $^{204}\text{Pb}$ [J]. Chemical Geology, 2002, 192(1/2): 59-79.
- [55] Ludwig K R. User's manual for Isoplot/Ex, Version 3.00, a geochronological toolkit for Microsoft excel[R]. Berkeley: Berkeley Geochronology Center, 2003.
- [56] 谢皓程. 伊朗札格罗斯造山带中部迪兹富勒海湾碎屑锆石研究[D]. 台北, 中国: 台湾大学, 2016. [Hsieh H C. Detrital zircon study of the Dezful Embayment in the central Zagros, southwest Iran[D]. Taipei, China: Taiwan University, 2016.]
- [57] Sepahi A A, Jafari S R, Osanai Y, et al. Age, petrologic significance and provenance analysis of the Hamedan low-pressure migmatites; Sanandaj-Sirjan Zone, west Iran[J]. International Geology Review, 2019, 61(12): 1446-1461.
- [58] Fergusson C L, Nutman A P, Mohajjel M, et al. The Sanandaj-Sirjan Zone in the Neo-Tethyan suture, western Iran: Zircon U-Pb evidence of Late Palaeozoic rifting of northern Gondwana and mid-Jurassic orogenesis[J]. Gondwana Research, 2016, 40: 43-57.
- [59] Zare-Shooli M, Tahmasbi Z, Ao S J, et al. Petrogenesis and U-Pb zircon geochronology of migmatitization during Neo-Tethyan Jurassic magmatic arc extension: The Boroujerd example, western Iran[J]. Lithos, 2021, 398-399: 106278.
- [60] Shakerardakani F, Neubauer F, Liu X M, et al. New detrital zircon U-Pb insights on the palaeogeographic origin of the central Sanandaj-Sirjan zone, Iran[J]. Geological Magazine, 2021, 158(12): 2165-2186.
- [61] GholamiZadeh P, Hu X M, Garzanti E, et al. Constraining the timing of Arabia-Eurasia collision in the Zagros Orogen by sandstone provenance (Neyriz, Iran)[J]. GSA Bulletin, 2022, 134(7/8): 1793-1810.
- [62] Jafari S R, Sepahi A A, Osanai Y. LA-ICP-MS zircon U-Pb geochronology on migmatites from the Boroujerd region, Sanandaj-Sirjan zone, Zagros Orogen, Iran: Provenance analysis and metamorphic age[J]. Geopersia, 2020, 10(2): 367-380.
- [63] Horton B K, Hassanzadeh J, Stockli D F, et al. Detrital zircon provenance of Neoproterozoic to Cenozoic deposits in Iran: Implications for chronostratigraphy and collisional tectonics[J]. Tectonophysics, 2008, 451(1/2/3/4): 97-122.
- [64] Omer M F, Friis H, Kokfelt T F, et al. Provenance of northern Gondwana Lower Ordovician sandstones (Khabour Formation, northern Iraq) revealed by detrital zircon using LA-ICP-MS dating[J]. Geological Journal, 2021, 56(10): 4905-4922.
- [65] Al-Juboury A I, Morton A, Shingaly W S, et al. Stratigraphy and age revision of the Pirispiki Formation, Kurdistan Region, northern Iraq[J]. Arabian Journal of Geosciences, 2020, 13(14): 593.
- [66] Jones B G, Ali S A, Nutman A P. Provenance of Tanjero and red bed clastic sedimentary rocks revealed by detrital zircon SHRIMP dating, Kurdistan region, NE Iraq: Constraints on ocean closure and unroofing of Neo-Tethyan allochthons[J]. Journal of African Earth Sciences, 2020, 172: 103981.
- [67] Koshnaw R I, Horton B K, Stockli D F, et al. Neogene shortening and exhumation of the Zagros fold-thrust belt and foreland Basin in the Kurdistan region of northern Iraq[J]. Tectonophysics, 2017, 694: 332-355.
- [68] Barber D E, Stockli D F, Horton B K, et al. Cenozoic exhumation and foreland Basin evolution of the Zagros Orogen during the Arabia-Eurasia collision, western Iran[J]. Tectonics, 2018, 37(12): 4396-4420.
- [69] Cai F L, Ding L, Wang H Q, et al. Configuration and timing of collision between Arabia and Eurasia in the Zagros collision zone, Fars, southern Iran[J]. Tectonics, 2021, 40(8): e2021TC006762.
- [70] Koshnaw R I, Horton B K, Stockli D F, et al. Sediment routing in the Zagros foreland Basin: Drainage reorganization and a shift from axial to transverse sediment dispersal in the Kurdistan region of Iraq[J]. Basin Research, 2020, 32(4): 688-715.
- [71] Koshnaw R I, Stockli D F, Schlunegger F. Timing of the Arabia-Eurasia continental collision: Evidence from detrital zircon U-Pb geochronology of the Red Bed Series strata of the northwest Zagros hinterland, Kurdistan region of Iraq[J]. Geology, 2019, 47(1): 47-50.

- [72] Koshnaw R I, Schlunegger F, Stockli D F. Detrital zircon provenance record of the Zagros mountain building from the Neotethys obduction to the Arabia–Eurasia collision, NW Zagros fold–thrust belt, Kurdistan region of Iraq[J]. *Solid Earth*, 2021, 12(11): 2479-2501.
- [73] Aziz N R H, Sadiq D M, Aswad K J. U-Pb detrital zircon dating of Middle Eocene clastic rocks from the gercus Formation, NE Iraq: New constraints on their provenance, and tectonic evolution[J]. *Iraqi Geological Journal*, 2021, 54(1C): 1-15.
- [74] Barber D E, Stockli D F, Galster F. The proto-Zagros foreland Basin in Lorestan, western Iran: Insights from Multiminerall detrital geothermochronometric and trace elemental provenance analysis[J]. *Geochemistry, Geophysics, Geosystems*, 2019, 20(6): 2657-2680.
- [75] Aziz N R H, Sadiq D M. U-Pb Zircon dating of Upper Cretaceous siliciclastic rocks from the Tanjero Flysch, NE Iraq: New constraints on their provenance and tectonic evolution[J]. *Kuwait Journal of Science*, 2020, 47(4): 106-117.
- [76] Zhang Z Y, Xiao W J, Ji W Q, et al. Geochemistry, zircon U-Pb and Hf isotope for granitoids, NW Sanandaj-Sirjan zone, Iran: Implications for Mesozoic-Cenozoic episodic magmatism during Neo-Tethyan lithospheric subduction[J]. *Gondwana Research*, 2018, 62: 227-245.
- [77] Fakhari M D, Axen G J, Horton B K, et al. Revised age of proximal deposits in the Zagros foreland Basin and implications for Cenozoic evolution of the High Zagros[J]. *Tectonophysics*, 2008, 451(1/2/3/4): 170-185.

## Miocene Sedimentary Characteristics and Provenance Analysis in the Lurestan-Khuzestan Region, Southern Iran

SUN GaoYuan<sup>1</sup>, CUI XiChao<sup>1</sup>, CHEN JiaNuo<sup>1</sup>, JIANG JingXin<sup>2</sup>, HU XiuMian<sup>2</sup>, WANG YaSu<sup>1</sup>

1. College of Oceanography, Hohai University, Nanjing 210024, China

2. State Key Laboratory of Mineral Deposit Research, School of Earth Sciences and Engineering, Nanjing University, Nanjing 210023, China

**Abstract:** **[Objective]** The collision of the Arabian-Eurasian plates led to the formation of the Zagros orogenic belt and related foreland basin. The gradual filling of the Zagros foreland basin resulted in the retreat of the Neo-Tethys Ocean in the Zagros region, which caused the transition from the marine to terrestrial environments. This process provides the chance to explore the demise of the Neo-Tethyan Ocean in the Middle East. **[Methods]** In this study, we conducted detailed stratigraphy, sedimentology, sandstone petrography, and detrital zircon U-Pb age determination on the Miocene sedimentary strata in the Lurestan and Khuzestan regions of the Zagros Mountains in southern Iran, which provide new constraints on the filling of the Zagros foreland basin and the regression process of the Neo-Tethys Ocean in the Zagros area. **[Results]** The Agha Jari Formation in the Lurestan region is characterized by large-scale, medium-to-thick layered sandstones interbedded with mudstones. Sedimentary environment analysis suggests that it has been formed in a fluvial environment. The sandstone petrography shows a significant number of metamorphic clasts. Combined with the detrital zircon U-Pb age peak of Jurassic ~170 Ma, the Agha Jari Formation in the Lurestan region is found to be derived from the Sanandaj-Sirjan Zone to the north. The Agha Jari Formation in the Khuzestan area is a large set of thick mudstone beds, thick mudstone interbedded with sandstone, thick sheeted sandstone interbedded with mudstone, and sand-mudstone interbeds. The sedimentary environment analysis shows that it has been formed in a transitional deltaic environment. The sandstone modal composition indicates that the clasts of the sedimentary rocks occurred.

The detrital zircon ages show Mesozoic ages, comparable with the Zagros Fold-and-Thrust Belt. Thus, they have been mainly recycled from the sedimentary strata in Zagros Fold-and-Thrust Belt. Based on the underlying Gachsaran-Mishan formations, which are composed of shallow marine limestone and evaporite, the Agha Jari Formation represents the regional youngest marine sedimentation, recording the transition from the marine to the terrestrial environments. The calcareous nannofossil analysis from the underlying Mishan Formation yield the youngest age of the Early Miocene. Considering the other biostratigraphic studies, the age of the Agha Jari Formation is constrained to be no earlier than the Miocene. Therefore, based on the sedimentary and biostratigraphic studies on the Agha Jari Formation in the Khuzestan region, the demise of the Neo-Tethyan Ocean in the Zagros region has been constrained by no earlier than the Miocene, with a trend from the northwest to the southeast. **[Conclusions]** Combined with regional paleogeography and provenance analyses on the Miocene strata in the Zagros orogenic belt, the gradual uplift of the Zagros orogenic belt occurred after the Arabia-Eurasia collision. The uplifted Zagros orogenic belt has been eroded to provide the clastic materials for the Zagros foreland basin. As a result, the regression of the Neo-Tethys Ocean in the Zagros area is controlled by the continual filling in the foreland basin. This paleogeography of northwest-southeast regression of the Neo-Tethyan Ocean existed no later than the Early Miocene.

**Key words:** Neo-Tethyan Ocean; Zagros; Agha Jari Formation; sedimentary environment; regression